

Izvorni znanstveni rad
UDK 550.340.1

Određivanje brzina refraktiranih longitudinalnih Pn valova na području Dinarida

Snježana Markušić

Geofizički zavod »Andrija Mohorovičić«, Prirodoslovno-matematički fakultet,
Sveučilište u Zagrebu

Primljeno 8. svibnja 1991., u konačnom obliku 12. rujna 1991.

Razmatrane su brzine rasprostiranja refraktiranog longitudinalnog vala modificiranim postupkom vremenskog člana na području Dinarida. Pretpostavljen je model homogenog, izotropnog sloja iznad poluprostora, a refraktor je ploha Mohorovičićevog diskontinuiteta. Dobiveni rezultati zbog znatnog raspona iznosa (od 7.85 do 8.45 kms^{-1}), potvrđuju kompleksnost grade Dinarida i dijeli istraživano područje na tri dijela. Srednja brzina rasprostiranja Pn vala (izračunata za cijelo područje Dinarida) iznosi 8.10 kms^{-1} i usporediva je s brzinom za Dinaride od 8.14 km s^{-1} koja je odredena postupkom dubokog seizmičkog sondiranja.

Velocities of refracted longitudinal Pn waves in the Dinarides area

The refracted longitudinal wave velocities in the Dinarides area have been determined on the basis of the modified time-term method for the dipping Moho discontinuity. The homogeneity of the Earth crust is assumed. The results (ranging between 7.85 and 8.45 kms^{-1}) divide the research area into three parts and confirm the complexity of the Dinarides region. The arithmetic mean of the Pn wave velocities (calculated for the entire Dinarides area) is 8.10 kms^{-1} . This value is comparable to the average velocity of 8.14 kms^{-1} obtained for the Dinarides region by deep seismic sounding.

1. Uvod

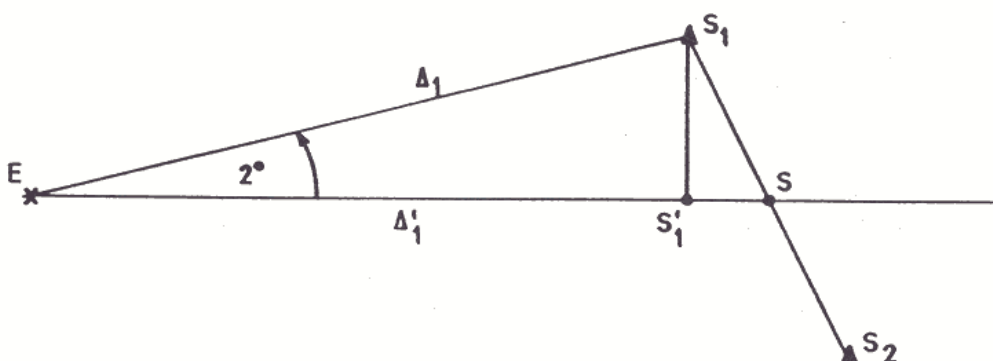
U trenutku potresa od hipocentra se na sve strane šire vibracije u obliku elastičkih, progresivnih valova. Pomoću mjerjenih vremena nailazaka tih valova moguće je, inverznim metodama, odrediti fizikalne i geometrijske parametre modela Zemlje. U ovom radu razmotrit će se jedna od inverznih metoda nazvana modificirana metoda vremenskog člana (Berry i West, 1966). S obzirom na to da je brzina elastičkih valova u kori i gornjem plasti važan podatak pri razumijeva-

nju tektonike određenog područja, u ovom se radu pokušalo, koristeći se modificiranim postupkom vremenskog člana, odrediti brzine na području Dinarida koje je seizmički vrlo aktivno.

2. Modificirani postupak vremenskog člana

Na osnovi klasične metode vremenskog člana (»time-term« metoda), koju su 1957. godine predložili Scheidegger i Willmore, razvijen je modificirani postupak vremenskog člana. Klasičnom metodom moguće je odrediti brzinu duž cijele staze putovanja vala od izvora do detektora, dok se modificirana metoda temelji na razlikama vremena putovanja iste faze vala do pojedinih detektora. Drugom metodom tako je izbjegnuta ovisnost rezultata o vremenu nastanka potresa ili eksplozije.

Modificirani postupak vremenskog člana koristi se refraktiranim longitudinalnim valovima plitkih potresa (dubina izvora manja je od dubine plohe diskontinuiteta) zabilježenim na parovima detektora koji leže na približno istom azimutu (uobičajeno dozvoljeno odstupanje je $\pm 2^\circ$ – vidi npr. Beghoul i Barazangi, 1989; Berry i West, 1966; Greenhalgh et al., 1989; James et al., 1968; Kayal i De, 1987. i drugi) u odnosu na pripadajući izvor. Azimutalno odstupanje od 2° ne unosi zamjetnu pogrešku pri određivanju brzina v_{Pn} (vidi sliku 1).



Slika 1. Prikaz azimutalnog odstupanja. Sa Δ_1 označena je epicentralna udaljenost stanice S_1 , a sa Δ'_1 njegova projekcija na pravac koji spaja epicentar E s točkom S (polovište spojnica stanica S_1 i S_2). Azimutalno odstupanje $\pm 2^\circ$ dovodi do odstupanja pri određivanju epicentralne udaljenosti koje iznosi: $\Delta_1 - \Delta'_1 = \Delta_1 [1 - \cos(2^\circ)] = 6 \times 10^{-4} \Delta_1$. Veličina $(\Delta_1 - \Delta'_1)$ zanemarivo je mala i utječe na promjenu brzine tek u petoj decimali.

Figure 1. The influence of the azimuthal deviation. Δ_1 is the epicentral distance of the station S_1 and Δ'_1 is the projection of Δ_1 on the line that goes through the epicentre E and the point S, which halves the distance between the stations S_1 and S_2 . The azimuthal deviation of $\pm 2^\circ$ results in the error in determining the epicentral distance which amounts to: $\Delta_1 - \Delta'_1 = \Delta_1 [1 - \cos(2^\circ)] = 6 \times 10^{-4} \Delta_1$. The magnitude of $(\Delta_1 - \Delta'_1)$ is insignificantly small and modifies the velocity in the fifth decimal.

Vrijeme nailaska Pn faze vala (t_i) na i-ti detektor može se pisati kao:

$$t_i = t_o + a_o + a_i + \frac{\Delta_i}{v_{ri}}, \quad (1)$$

gdje je: t_o – vrijeme nastanka potresa ili eksplozije,

a_o – vremenski član izvora,

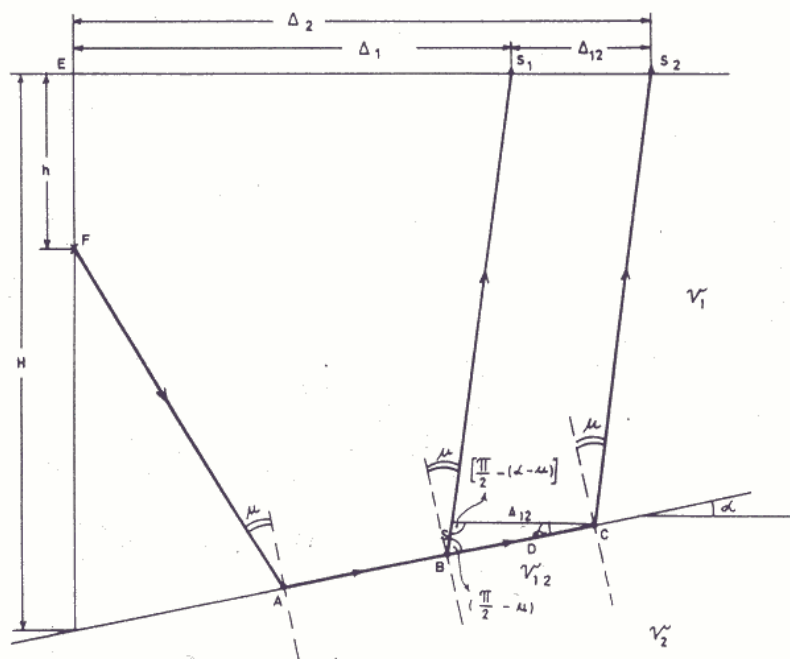
a_i – vremenski član detektora,

Δ_i – udaljenost između izvora i detektora,

v_{ri} – brzina u sloju ispod refraktora.

Pod pojmom vremenskog člana izvora ili detektora razumijeva se vrijeme potrebno valu da prevaziđe put od izvora do refraktora, odnosno od refraktora do detektora. Svaki vremenski član ovisi o debljini sloja ispod izvora (detektora) te o brzinama rasprostiranja seizmičkog vala u sloju i poluprostoru.

Ako indeksom 1 označimo detektor koji je bliže izvoru, a indeksom 2 onaj koji je dalje (slika 2), tada se oduzimanjem izraza (1) za vrijeme nailaska vala istog potresa na prvi detektor od onog na drugi dobiva relaciju:



Slika 2. Prikaz staze refraktiranog vala.

Figure 2. The refracted wave path.

$$t_2 - t_1 = \frac{(\Delta_2 - \Delta_1)}{v_{12}} + (a_2 - a_1) , \quad (2)$$

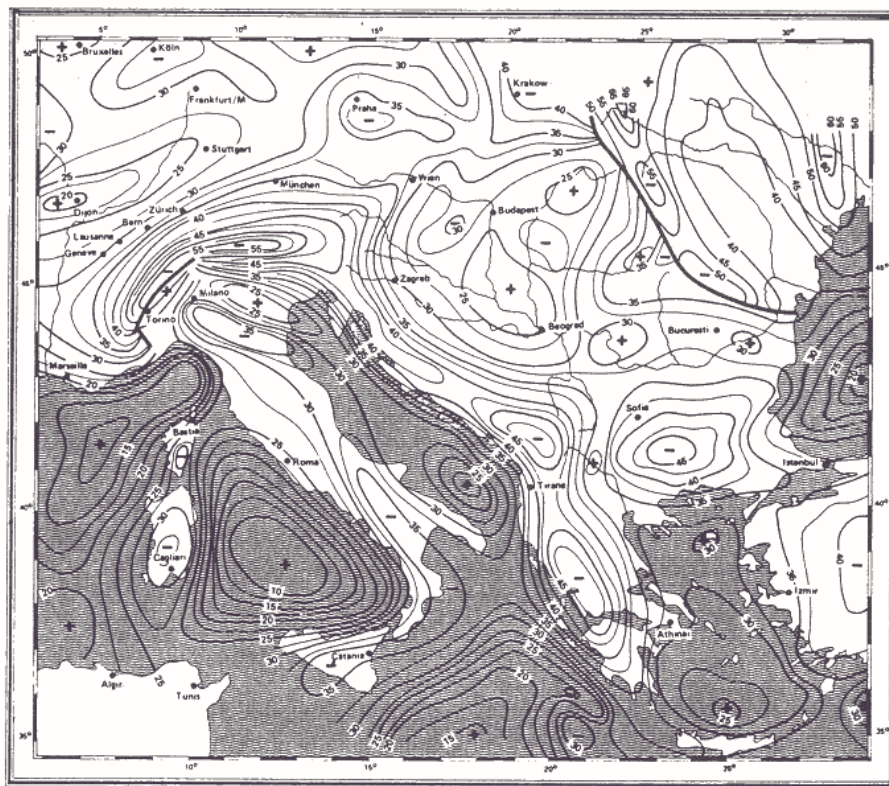
gdje je: v_{12} – brzina Pn vala između detektora 1 i 2,

Δ_1, Δ_2 – udaljenosti detektora od izvora,

a_1, a_2 – vremenski članovi detektora.

Za horizontalni refraktor brzina v_{12} može se odrediti dijeljenjem ($\Delta_2 - \Delta_1$) sa ($t_2 - t_1$), s obzirom na to da za svaki par detektora vrijedi: $a_1 = a_2$.

Kod složenijeg slučaja određivanja izraza za brzinu refraktiranog longitudinalnog vala između para stanica, kad ploha diskontinuiteta nije horizontalna, prepostavljena je homogenost kore, a kut nagiba plohe diskontinuiteta α definiran je tako da je njegov iznos pozitivan ako gledano od epicentra E sloj postaje



Slika 3. Preliminarna karta dubina Mohorovičićevog diskontinuiteta (u km) (Skoko et al., 1987; Aljinović et al., 1987).

Figure 3. Preliminary map of depths of the Mohorovičić discontinuity (in km) (Skoko et al., 1987; Aljinović et al., 1987).

tanji, a negativan ako postaje deblji. U skladu s navedenom definicijom, za slučaj prikazan na slici 2 vrijedi da je $\alpha > 0$. Udaljenosti od epicentra E do stanica S_1 i S_2 zovu se epicentralne udaljenosti i označene su sa Δ_1 i Δ_2 . Sa F označen je hipocentar, h je dubina žarišta, a H debljina sloja ispod epicentra E. Brzina u sloju je konstantna i označena sa v_1 , a brzina ispod refraktora između para stanica S_1 i S_2 sa v_{12} . Za područje Dinarida postoji karta topografije Mohorovičićevog diskontinuiteta prikazana na slici 3 (Skoko et al., 1987; Aljinović et al., 1987), dok za Conradov diskontinuitet takva karta ne postoji, a nema ni dovoljno pouzdanih podataka. Iz toga proizlazi da je nemoguće odrediti kutove nagiba Conradovog diskontinuiteta u pojedinim smjerovima, pa je stoga uzet u razmatranje jednoslojni, homogeni i izotropni model kore. Brzina u kori određena je kao ponderirani srednjak brzina u »granitnom« i »bazaltnom« sloju iz »Balkanskog modela« (B.C.I.S., 1972). Tako je za P val dobivena brzina u sloju $v = 6.01 \text{ kms}^{-1}$. Pri određivanju kuta nagiba plohe Mohorovičićevog diskontinuiteta (α) koriste se podaci o dubinama na kojima se ona nalazi. Duž pravaca koji spajaju parove stanica s određenim epicentrima očitavane su pripadne dubine (H) plohe Mohorovičićevog diskontinuiteta (slika 3) za niz epicentralnih udaljenosti (Δ) uz korak od 50 km. Za pojedine smjerove tako su određeni parovi (H_i , Δ_i). Metodom najmanje sume kvadrata odstupanja dobiven je pravac regresije $H = k\Delta + l$, čiji kut nagiba određuje kut α :

$$\alpha = -\arctg(k). \quad (3)$$

Negativan predznak u (3) proizlazi iz definicije kuta α , jer kad sloj postaje deblji, kao na slici 2, α je negativan i obrnuto.

Nastupna vremena reducirana su na nadmorsku visinu 0 m uz pretpostavku brzine širenja P vala u najgornjem dijelu kore od 5.5 kms^{-1} . Razlika vremena nailazaka refraktiranog vala za par stanica dana je relacijom:

$$t_{12} = a_2 - a_1 + D \frac{1}{v_{12}}, \quad (4)$$

gdje je D udaljenost između točaka B i C, a a_1 i a_2 su vremenski članovi pojedinih stanica. S obzirom na to da vremenski član označava vrijeme potrebno valu da priđe put od diskontinuiteta do stanice, tako je, za isti potres, razlika ($a_2 - a_1$) vremenska veličina koja pokazuje za koliko se razlikuje vrijeme putovanja vala od plohe diskontinuiteta do različitih stanica. Stoga se može uvesti veličina T , tako da vrijedi:

$$a_2 - a_1 = \begin{cases} -T, & \alpha > 0 \\ T, & \alpha < 0 \end{cases} \quad (5)$$

Za veličinu D pomoći slike 2 i na osnovi laganog računa dobiva se ovaj izraz:

$$D = \Delta_{12} \frac{\cos(\alpha - u)}{\cos u}, \quad (6)$$

gdje je:

$$u = \arcsin(v_1/v_2) \quad (7)$$

Sa slike 2 lako je uočiti da vrijedi relacija:

$$S = (\Delta_{12}^2 + D^2 - 2\Delta_{12}D \cos \alpha)^{1/2} \quad (8)$$

Veličina T upravo je vrijeme potrebno da val pređe put S (8) brzinom u kori v_1 , pa odatle slijedi:

$$T = \frac{(\Delta_{12}^2 + D^2 - 2\Delta_{12}D \cos \alpha)^{1/2}}{v_1} \quad (9)$$

Iz (4) proizlazi da se jednadžba za određivanje brzine rasprostiranja refraktiranog vala, neposredno ispod plohe Mohorovičićevog diskontinuiteta, između para stanica može pisati u sljedećem obliku:

$$v_{12} = \begin{cases} \frac{D}{t_{12} + T}, & \alpha > 0 \\ \frac{D}{t_{12} - T}, & \alpha < 0 \end{cases} \quad (10)$$

Iznos prividne brzine rasprostiranja vala jednak je iznosu brzine v_{12} za horizontalni refraktor:

$$(v_{12})_{pr} = \frac{\Delta_{12}}{t_{12}}. \quad (11)$$

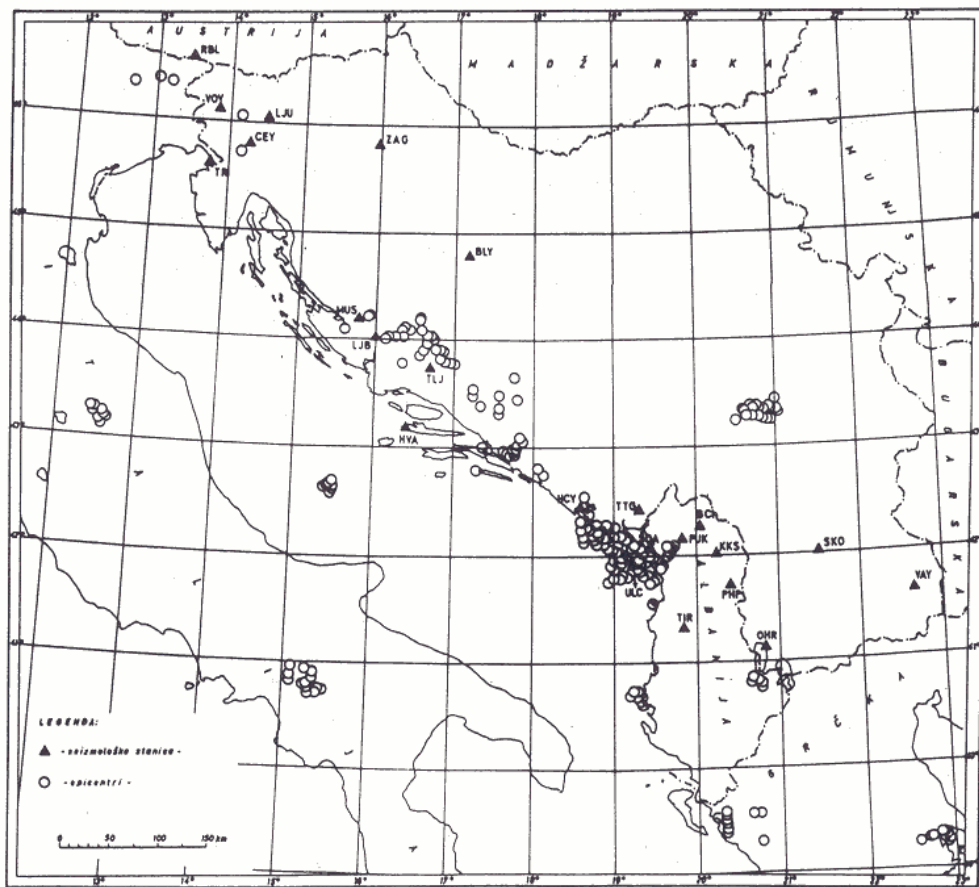
Kako veličina D u (10) ovisi o v_2 [vidi (6) i (7)], brzina v_{12} određuje se iterativnim postupkom uz pretpostavku $v_2 = 8.00 \text{ kms}^{-1}$ u prvoj iteraciji. U svakoj sljedećoj iteraciji brzina se korigira tako da se postavi $v_2 = v_{12}$.

Pri određivanju brzine neposredno ispod plohe Mohorovičićevog diskontinuiteta između para stanica obrađuje se niz od N potresa iz određenog epicentralnog područja za koje traženi par stanica leži na približno istom azimutu ($\pm 2^\circ$). Pomoću tih podataka te jednadžbe (10) dobivene su brzine $(v_{12})_i$, gdje se indeks i mijenja od 1 do N . Srednja brzina refraktiranog vala za pojedini je par stanica tada.

$$v_{12} = \frac{\sum (v_{12})_i}{N}. \quad (12)$$

3. Podaci

Pri odabiru podataka ograničila sam se na parove stanica koje leže unutar azimutalne razlike od 2° u odnosu na određeni epicentar. Obradeno je 390 potresa, iz 14 epicentralnih područja, koji su se dogodili u razdoblju od 1973. do 1987. godine, zabilježenih mrežom 23 stanice (slika 4). Pri odabiru podataka bilo je nužno da je ispitivano područje (Dinaridi) ispresijecano i okruženo plitkim potresima čije su magnitude ≥ 3.0 , a epicentralne udaljenosti odgovarajuće, što znači da su udaljenosti takve da prva nailazi na stanicu Pn faza vala ($\Delta \geq 160$ km). Lokacije hipocentara te nastupna vremena na pojedine stanice preuzeti su iz međunarodnih i domaćih biltena, a korišteni su i podaci privremenih seizmoloških postaja Geofizičkog zavoda »Andrija Mohorovičić« Prirodoslovno-matematičkog fakulteta u Zagrebu.



Slika 4. Raspored epicentralnih područja i seizmoloških postaja.

Figure 4. Epicentral areas and seismological stations.

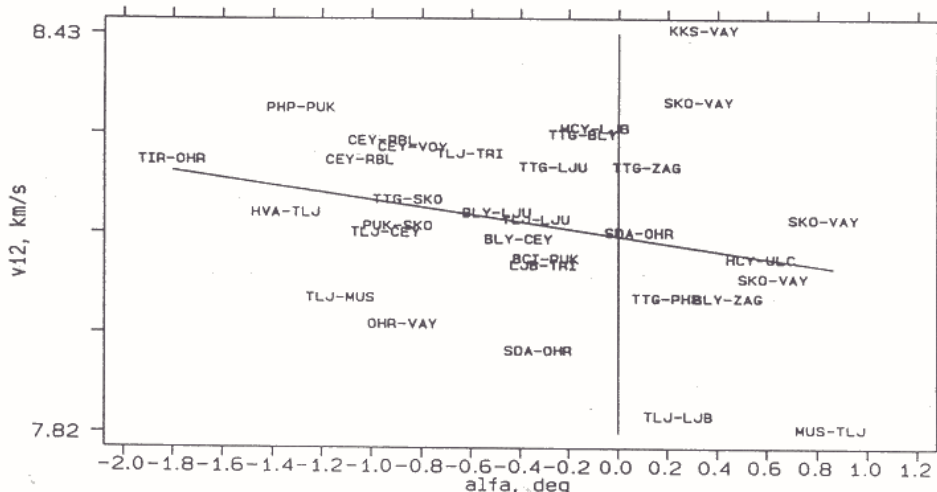
Brzine su računate između 28 parova stanica koji su zajedno s pripadnim epicentrima zadovoljavali gornje uvjete. Uzete su za valjane samo one brzine koje su dobivene na osnovi najmanje 5 potresa.

4. Rezultati i diskusija

Brzine v_{12} refraktiranog longitudinalnog vala izračunate pomoću modificiranog postupka vremenskog člana prikazane su slikom 5 u ovisnosti o kutu α nagiba plohe Mohorovičevog diskontinuiteta. Metodom najmanje sume kvadrata odstupanja dobiven je pravac s jednadžbom:

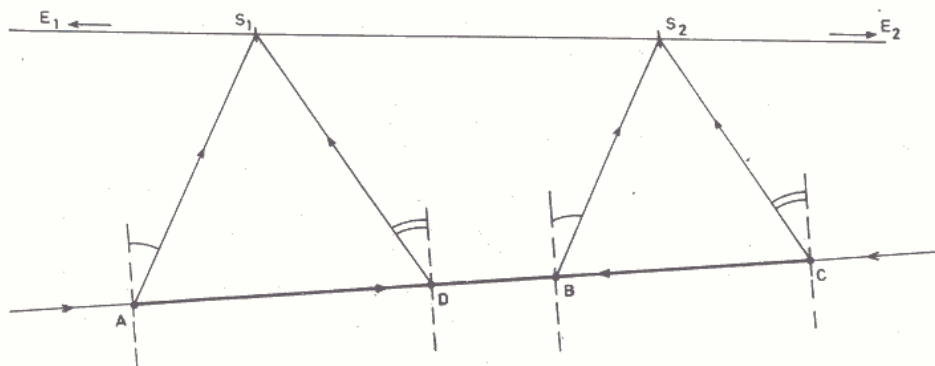
$$v_{12} = -0.05\alpha + 8.12 , \quad (13)$$

gdje je α izražen u stupnjevima, a koeficijent korelacije iznosi $r = -0.4$. Na osnovi slike 5 možemo zaključiti da brzina raste kada kora postaje deblja odnosno da pada kada kora postaje tanja. To znači da bi brzine v_{12} duž istog puta, u slučaju kad je kut α istog apsolutnog iznosa, ali suprotnog predznaka, bile različite, što nema fizikalnog smisla. Takvo opažanje moguće je interpretirati uz realnu pretpostavku porasta brzine u kori s dubinom. Tada će, u slučaju prikazanom na slici 6, prosječna brzina na putu AS₁ biti veća nego na putu BS₂ (isto vrijedi i za puteve DS₁ i CS₂), pa u tom smislu valja korigirati i iznose vremenskih članova a_1 i a_2 . Da bi se ocijenio red veličine ovog efekta, proveden je sljedeći numerički eksperiment: pretpostavimo li da se kora sastoji od dva sloja (kao u modelu B.C.I.S., 1972), od kojih je gornji stalne debljine, a debljina donjeg raste s



Slika 5. Razdioba brzine v_{12} u ovisnosti o kutu nagiba plohe diskontinuiteta.

Figure 5. v_{12} velocities versus the angle of the discontinuity slope.



Slika 6. Staze vala u slučaju kad su epicentri E_1 i E_2 raspoređeni duž azimuta s obiju strana para stanica S_1 i S_2 . Kada val putuje u smjeru od epicentra E_1 prema stanicama S_1 i S_2 , tada se određuje brzina v_{Pn} između točaka A i B, a u suprotnom smjeru, od E_2 prema S_2 i S_1 brzina v_{Pn} između točaka C i D.

Figure 6. Wave paths (for the case) when the epicentres E_1 and E_2 differ by 180° with respect to the pair of stations S_1 and S_2 . When the wave travels from epicentre E_1 towards the stations S_1 and S_2 , the v_{Pn} velocity is determined between the points A and B; in the opposite direction (from E_2 towards S_2 and S_1) the v_{Pn} velocity is obtained between the points C and D.

nagibom plohe Mohorovičićevog diskontinuiteta, tada će srednja brzina u kori rasti s njenim produbljivanjem. Uvezši ovu činjenicu u obzir pri računanju teorijskih vremena nailazaka Pn vala izračunate su naprijed opisanim postupkom brzine v_{12} za udaljenosti $\Delta_{12} = 100$ i $\Delta_{12} = 200$ km uz variranje nagiba refraktora od $\alpha = -1.2^\circ$ do $+1.2^\circ$. Pravac regresije v_{12} u ovisnosti o α imao je nagib -0.05 – identičan onome za realne podatke iz izraza (13). Zato je zaključeno da treba dobivene brzine (slika 5) korigirati za -0.05α , čime se u obzir uzima porast srednje brzine u kori s njenim podebljavanjem te se uklanja ovisnost brzina v_{12} o kutu nagiba α .

Tako dobivene, korigirane brzine v_{Pn} refraktiranog longitudinalnog vala između parova stanica prikazane su grafički (slika 7), gdje strelice označuju smjer rasprostiranja vala, te tabelarno (tablica 1). U tablici 1 za parove stanica CEY-RBL, SDA-OHR i SKO-VAY navedeno je nekoliko brzina koje su dobivene na osnovi podataka o potresima iz različitih epicentralnih područja. Stoga su na sliku 7 ucrtani iznosi ponderiranih srednjaka tih brzina za svaki od navedenih parova stanica. Prosječna brzina (ponderirani srednjak) brzina prikazanih u tablici 1 za istraživano područje Dinarida iznosi $8.099 \pm 0.098 \text{ kms}^{-1}$.

Dobivena prosječna brzina rasprostiranja refraktiranog longitudinalnog vala za područje Dinarida je 8.10 kms^{-1} , što se približno podudara s iznosom prosječne brzine refraktiranog vala (8.14 kms^{-1}), određene istraživanjem metodom dubokog seizmičkog sondiranja za isto područje (Andrić i Zeljko, 1971; Zeljko, 1974; Joksović i Andrić, 1982; Joksović i Andrić, 1983). To istraživanje u Jugoslaviji zajednički provode »GEOFIZIKA« iz Zagreba i »GEOZAVOD« iz Beograda.

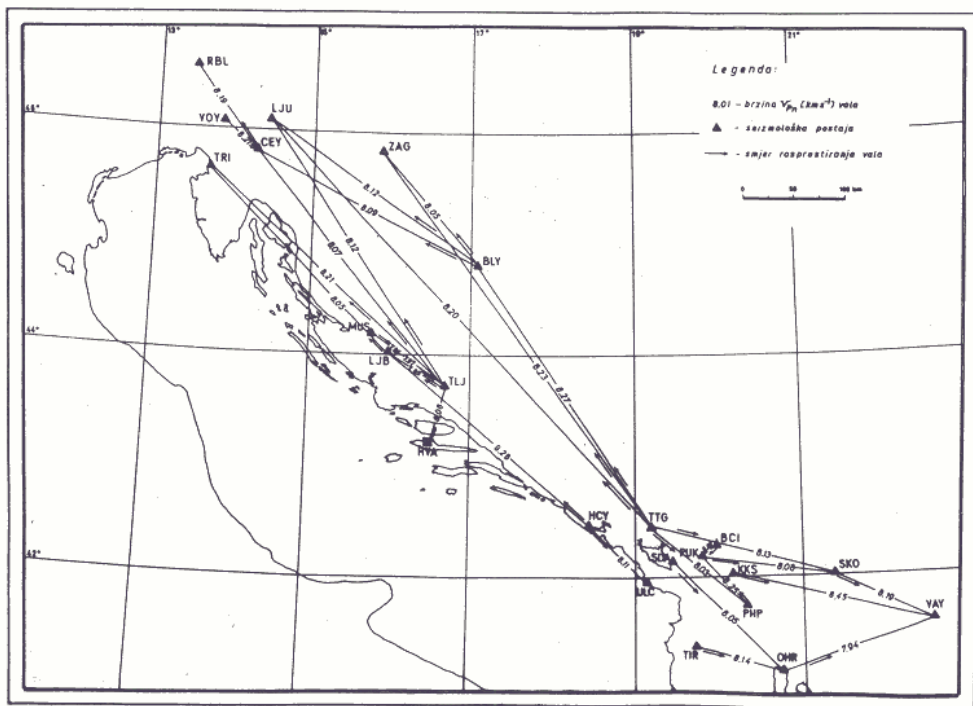
Tablica 1. Prikaz brzina Pn valova na području Dinarida između parova stanica.

Table 1. Pn wave velocities in the Dinarides area between pairs of stations

Par stanica	Epicentralno područje	Broj podataka	Nagib plohe diskontinuiteta (stupnjevi)	Prividna v_{Pn} brzina (km s^{-1})	Brzina v_{Pn} (km s^{-1})
BCI-PUK	Kopaonik	9	-0.290±0.015	8.048±0.090	8.070±0.673
BLY-CEY	Kopaonik	34	-0.403±0.004	8.062±0.025	8.093±0.048
BLY-LJU	Kopaonik	32	-0.486±0.005	8.083±0.027	8.122±0.050
BLY-ZAG	Pelješac	7	0.454±0.009	8.045±0.050	8.047±0.159
CEY-RBL	Crna Gora	19	-1.039±0.002	8.095±0.065	8.179±0.168
CEY-RBL	Knin	6	-0.954±0.002	8.133±0.111	8.212±0.298
CEY-VOY	Knin	7	-0.833±0.002	8.138±0.113	8.207±0.539
HCY-LJB	Grčka-Albanija 2	5	-0.089±0.005	8.272±0.079	8.280±0.135
HCY-ULC	Knin	7	0.584±0.004	8.153±0.106	8.106±0.327
HVA-TLJ	Južna Italija	14	-1.335±0.005	7.978±0.068	8.080±0.410
KKS-VAY	Pelješac	5	0.352±0.007	8.481±0.034	8.448±0.160
LJB-TRI	Pelješac	12	-0.301±0.004	8.030±0.075	8.053±0.080
MUS-TLJ	Furlanija	5	0.863±0.004	7.919±0.119	7.862±0.303
OHR-VAY	Albanija	6	-0.872±0.008	7.877±0.101	7.938±0.183
PHP-PUK	Grčka	6	-1.276±0.002	8.142±0.051	8.250±0.527
PUK-SKO	Jadran	5	-0.886±0.007	8.014±0.075	8.082±0.221
SDA-OHR	Knin	14	0.086±0.003	8.134±0.069	8.127±0.127
SDA-OHR	Pelješac	9	-0.316±0.005	7.899±0.054	7.920±0.155
SKO-VAY	Knin	6	0.634±0.006	8.129±0.120	8.080±0.225
SKO-VAY	Mostar	8	0.828±0.008	8.252±0.088	8.183±0.201
SKO-VAY	Pelješac	5	0.327±0.008	8.368±0.083	8.338±0.259
TIR-OHR	Jadran	6	-1.802±0.008	7.996±0.090	8.138±0.322
TLJ-CEY	Crna Gora	179	-0.937±0.002	7.998±0.013	8.069±0.018
TLJ-LJB	Skadar	9	0.248±0.004	7.868±0.059	7.851±0.331
TLJ-LJU	Grčka-Albanija 1	10	-0.325±0.005	8.095±0.042	8.120±0.081
TLJ-MUS	Crna Gora	96	-1.124±0.003	7.888±0.018	7.967±0.069
TLJ-TRI	Crna Gora	116	-0.597±0.003	8.156±0.016	8.236±0.021
TTG-BLY	Grčka	10	-0.135±0.005	8.256±0.062	8.267±0.085
TTG-LJU	Grčka	13	-0.260±0.002	8.183±0.063	8.204±0.039
TTG-PHP	Knin	11	0.198±0.004	8.045±0.159	8.031±0.159
TTG-SKO	Italija	11	-0.851±0.005	8.062±0.053	8.129±0.101
TTG-ZAG	Grčka	7	0.117±0.004	8.222±0.062	8.227±0.073

Za jedan par stanica (MUS, TLJ) izračunate su brzine v_{Pn} u oba smjera. U smjeru od MUS prema TLJ dobivena je brzina 7.862 km s^{-1} , a od TLJ prema MUS 7.967 km s^{-1} . Ova mala razlika u brzinama vjerojatno je uzrokovana ovim činjenicama:

- 1) – rezultati nisu jednako pouzdani – brzina v_{Pn} između stanica MUS i TLJ određena je na osnovi samo 5 podataka i njena standardna pogreška stoga je znatna ($\pm 0.303 \text{ km s}^{-1}$), dok je brzina v_{Pn} u suprotnom smjeru određena pomoću 96 podataka i ima standardnu pogrešku $\pm 0.069 \text{ km s}^{-1}$,
- 2) – staze duž kojih su određene brzine v_{Pn} su različite (vidi sliku 6).



Slika 7. Brzine rasprostiranja refraktiranog longitudinalnog vala između parova stanica.

Figure 7. Velocities of the longitudinal wave refracted on the Mohorovičić discontinuity between pairs of stations, as obtained in this study.

Na osnovi podataka o potresima iz različitih epicentralnih područja dobiveno je nekoliko brzina v_{Pn} za svaki od ovih parova stanica: CEY-RBL, SDA-OHR i SKO-VAY. Te se brzine međusobno razlikuju dijelom stoga što kutovi nagiba plohe Mohorovičevog diskontinuiteta nisu isti, a dijelom zato što sve brzine nisu jednakoupravljene (broj podataka na osnovi kojih su određene nije isti). Međutim, unatoč tome, iznosi brzina v_{Pn} za navedene parove stanica nalaze se unutar pripadnih standardnih devijacija.

4.1. Analiza mogućih izvora pogrešaka

U tablici 1 navedene su i standardne devijacije brzine v_{Pn} koje se računaju rabeći varijance sljedećih veličina: geografske širine (ϕ_0) i dužine (λ_0) epicentra, kuta nagiba plohe diskontinuiteta (α) te kuta incidencije (u). Na osnovi podataka o lokacijama epicentara i njihovim nepouzdanostima procijenjene su srednje standardne devijacije $\sigma_{\phi_0} = \sigma_{\lambda_0} = 5$ km.

S obzirom na to da je kut nagiba α određen relacijom (3), gdje je k koeficijent smjera pravca regresije $H = k\Delta + 1$, nepouzdanost kuta α ovisi o nepouzdanosti

iznosa H i Δ duž profila na kojem se određuje α . Njezin iznos možemo procijeniti (za tipične iznose: $\sigma_H = 3$ km, $\sigma_\Delta = 5$ km, $\Delta = 450$ km) na $\sigma_\alpha = \pm 0.35^\circ$, što na iznose brzina značajno utječe na drugoj decimali. Taj je utjecaj to veći što je manja epicentralna udaljenost. Može ga se smanjiti jedino detaljnim istraživanjima kako bi se što preciznije odredila dubina Mohorovičićevog diskontinuiteta.

Kut incidencije u ovisi o brzinama u sloju (v_1) i poluprostoru (v_2). Uz pretpostavku da je v_1 konstantan, standardna devijacija σ_u ovisi o varijanci brzine v_2 .

Osim navedenih postoje i drugi mogući izvori nepouzdanosti brzine v_{Pn} . Neki su od njih: 1) netočnosti čitanja vremena na stanicama te 2) utjecaj nehomogenosti i anizotropnosti kore (varijabilna brzina v_1).

Jedan od razloga nepouzdanih podataka o vremenima nailazaka vala na pojedine stanice može biti loš hod ure. U tom slučaju dolazi do pogreške koju je nemoguće predvidjeti i ukloniti. Ako neopouzdanost uzrokuje gruba greška u čitanju nastupnih vremena, moguće ju je ukloniti samo novim očitavanjem vremena, što je komplikirano primijeniti ako su vremena preuzeta iz biltena. Analizom utjecaja pogreške u čitanju od ± 0.1 s na određivanje brzine v_{Pn} dolazi se do nepouzdanosti od $\pm 4.3\%$ za stanice koje su udaljene 40 km te $\pm 0.3\%$ za one udaljene 500 km.

Nehomogenost i anizotropnost kore, odnosno fluktuačija brzine v_1 , utjecat će na nepouzdanost iznosa razlika T vremenskih članova stanica. U slučaju da je stvarni T veći od vrijednosti koju bi imao uz pretpostavku $v_1 = 6.01 \text{ kms}^{-1}$, izračunata brzina bit će manja od stvarne, i obrnuto [vidi izraze (10)]. Izračunate brzine v_{Pn} odstupat će od onih određenih na osnovi konstantne brzine $v_1 = 6.01 \text{ kms}^{-1}$ to više što će biti manje udaljenost među stanicama (Δ_{12}). Na sreću, vjerojatnost da se srednje brzine u kori (a time i vremenski članovi a_1 i a_2) znatno razlikuju za bliske je stanice vrlo mala, a raste s porastom Δ_{12} . Ovu nepouzdanost moguće je umanjiti samo detaljnim poznavanjem geologije istraživanog područja. S obzirom na to da, trenutno, ne postoje dovoljno precizni podaci o položaju geoloških struktura, njihovim dimenzijama i fizikalnim karakteristikama, bilo je nužno, pri izradi ovog rada, pretpostaviti homogenost i izotropnost sloja iznad plohe diskontinuiteta.

5. Zaključak

Pomoću dobivenih relacija modificiranim postupkom vremenskog člana te podataka za 390 potresa iz 14 epicentralnih područja izračunate su brzine rasprostiranja refraktiranog longitudinalnog vala između 28 parova stаницa na području Dinarida. Dobivene brzine v_{Pn} u rasponu su od 7.851 do 8.448 kms^{-1} , s prosječnom brzinom $(v_{Pn})_{sr} = 8.099 \text{ kms}^{-1}$, koja je usporediva s prosječnom brzinom za Dinaride dobivene metodom dubokog seizmičkog sondiranja (8.14 kms^{-1}). Pojedina područja Dinarida razlikuju se po geološkoj građi, a struktura plohe Mohorovičićevog diskontinuiteta je prilično komplikirana, pa je i raspon dobive-

nih brzina velik. S obzirom na dobivene rezultate, cijelo istraživano područje može se podijeliti na tri dijela:

1. jugoistočni dio Dinarida s kompleksnom strukturom plohe Mohorovičićevog diskontinuiteta, a samim tim i s velikim rasponom iznosa brzina (od 7.92 do 8.45 kms^{-1}),
2. središnji dio oko postaja MUS i TLJ s relativno niskim brzinama (od 7.85 do 7.97 kms^{-1}),
3. ostali dio Dinarida s brzinama koje su približne srednjoj brzini (v_{P_n})_{sr.}

Zahvala – Zahvaljujem anonimnim recenzentima čije su konstruktivne primjedbe značajno doprinijele poboljšanju prvotnog rukopisa i dr. Marijanu Heraku na vrijednim prijedlozima i dopunama.

Literatura

- Aljinović, B., Prelogović, E. i D. Skoko (1987): Novi podaci o dubinskoj geološkoj gradi i seismotektonski aktivnim zonama u Jugoslaviji. Geološki vjesnik, **40**, 255-263.
- Andrić, B. i B. Zeljko (1971): Ispitivanje grade Zemljine kore dubokim seizmičkim sondiranjem na profilu o. Palagruža – Sl. Brod – Valpovo. Geofizika – Zagreb, Geozavod – Beograd.
- B.C.I.S. (1972): Tables des temps de propagation des ondes seismiques (Hodochrones) pour la region des Balkans. Manuel d'utilisation. Strasbourg.
- Beghoul, N. and M. Barazangi (1989): Mapping high Pn velocity beneath the Colorado Plateau constrains uplift models. Journal of Geophysical Research, **94 B6**, 7083-7104.
- Berry, M. J. and G. F. West (1966): An interpretation of the first arrival data of the Lake Superior experiment by the time term method. Bulletin of the Seismological Society of America, **56**, 141-171.
- Greenhalgh, S.A., D. Tapley and R. Singh (1989): Crustal heterogeneity in South Australia, earth-quake evidence. Geophysical Journal, **96**, 85-99.
- James, D. E., Smith, T. J. and J. S. Steinhart (1968): Crustal structure of the midle Atlantic states. Journal of Geophysical Research, **73**, 1983-2007.
- Joksović, P. i B. Andrić (1982): Ispitivanje grade Zemljine kore metodom dubokog seizmičkog sondiranja na profilu Dugi otok – Virovitica, »Geofizika« – Odjel za terensku seizmiku, Zagreb, 28pp.
- Joksović, P. i B. Andrić (1983): Ispitivanje grade Zemljine kore metodom dubokog seizmičkog sondiranja na profilu Pula – Maribor. »Geofizika« – Odjel za terensku seizmiku, Zagreb, 36pp.
- Kayal, J.R. and R. De (1987): Pn velocity study using temporary seismographic network in the Shillong plateau, northeast India. Bulletin of the Seismological Society of America, **77**, 1718-1727.
- Scheidegger, A. E. and P. L. Willmore (1957): The use of least-squares method for the interpretation of data from seismic surveys. Geophysics, **22**, 9-22.
- Skoko, D., E. Prelogović and B. Aljinović (1987): Geological structure of the Earth's crust above the Moho discontinuity in Yugoslavia. Geophysical Journal of the Royal Astronomical Society, **89**, 379-382.
- Zeljko, B. (1974): Duboko seizmičko sondiranje. Magistarski rad. Sveučilište u Zagrebu, Rudarsko-geološko naftni fakultet, Zagreb, 74pp.